

## ミクロな磁石で探る 「固体」の物理学

明治大学理工学部物理学科 菊地 淳

1

## IV. 核磁気共鳴による固体物理学研究

1. 核磁気共鳴の原理
2. 核磁気共鳴装置
3. 固体物理学研究への利用
4. 医療への応用：MRIの原理

2

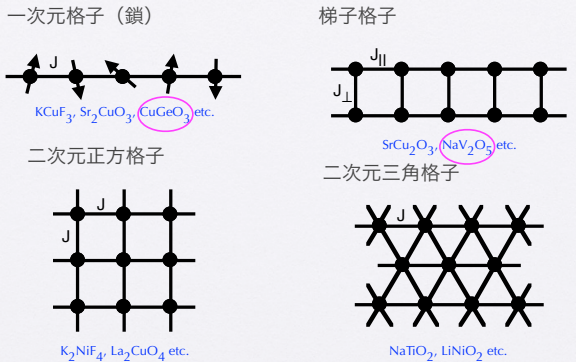
### NMRでみた低次元量子スピン系の 特異な基底状態

～不純物誘起反強磁性と電荷秩序転移～

1. スピン・パイエルス物質CuGeO<sub>3</sub>の原子置換効果  
～Cu(Ge-Si)O<sub>3</sub>におけるCu核 NMR・NQR～  
J.Kikuchi et al. PRL88, 037603 (2002); 固体物理40, 431 (2005)
2. NaV<sub>2</sub>O<sub>5</sub>における電荷秩序と電子状態

3

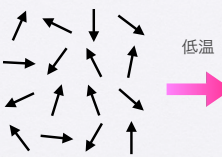
### 低次元磁性体とは？



交換相互作用(大きさJ)の強く働く方向が空間的に限定

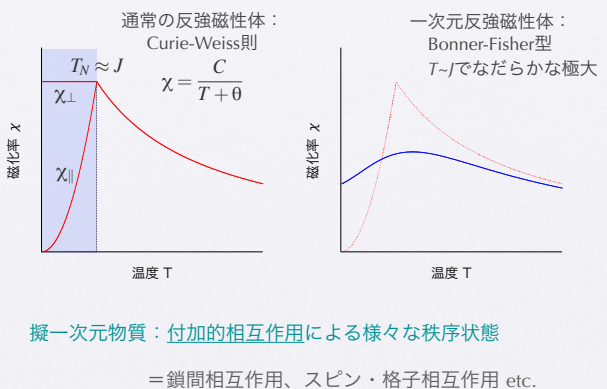
4

### 低次元磁性体の特異な振舞い

- 通常の(三次元)磁性体  
臨界温度以下で磁気モーメントが自発的に整列(磁気秩序)  
  
**常磁性状態**
- 低次元磁性体  
有限温度での磁気秩序なし  
S=1/2一次元反強磁性：絶対零度でも磁気秩序なし

5

### 低次元磁性体の特異な振舞い：磁化率

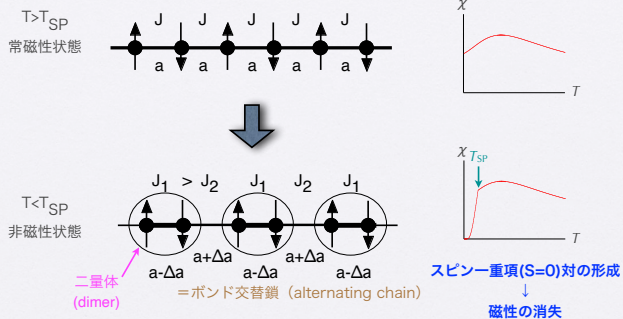


6

## スピン・パイエルス転移

### 格子の自発的歪みを伴う非磁性状態への相転移

格子系と結合した  $S=1/2$  一次元反強磁性スピン系に特有

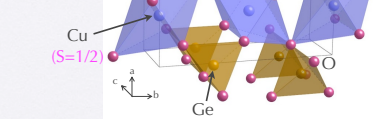


7

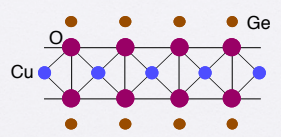
## $\text{CuGeO}_3$ の磁気的性質

### 結晶構造

Pbmm (斜方晶)  
 $a = 4.796 \text{ \AA}$   
 $b = 8.466 \text{ \AA}$   
 $c = 2.940 \text{ \AA}$



### 銅原子の一次元鎖



- スピン・パイエルス転移  
(無機化合物では唯一)

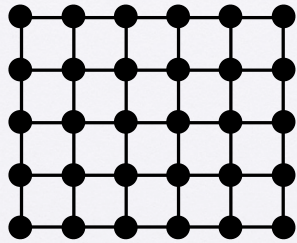
$T_{\text{SP}} = 14.2 \text{ K}$   
 $J_2/J_1 = 0.98$

- 擬一次元磁性  
 $J_c = 10.4 \text{ meV}$   
 $J_b = 0.1 J_c$   
 $J_a = -0.01 J_c$

- 原子置換効果  
1)  $\text{Cu} \rightarrow \text{Zn, Mg}$   
2)  $\text{Ge} \rightarrow \text{Si}$

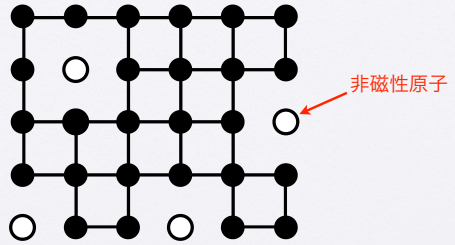
8

## 磁性体の原子置換効果



9

## 磁性体の原子置換効果

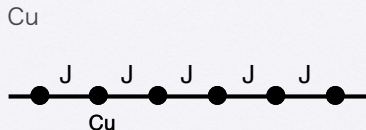


通常の磁性体では . . .

非磁性原子置換 = 希釈効果  
→ 転移温度の低下

10

## 一次元磁性体の原子置換効果



11

## 一次元磁性体の原子置換効果

$\text{Cu} \rightarrow \text{Zn, Mg, ...}$  = 有限サイズ効果  
(磁気鎖の切断)

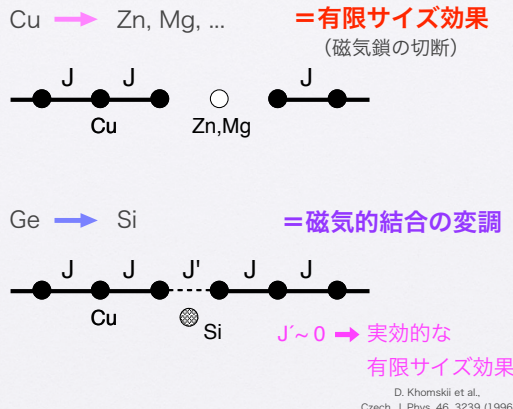


### Ge



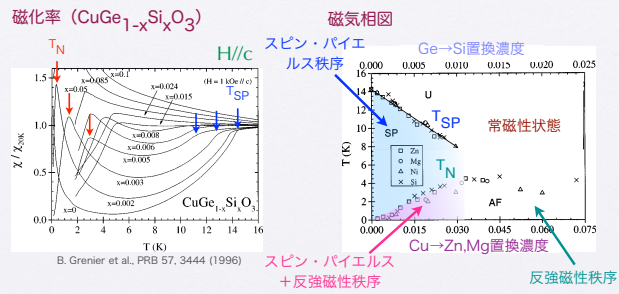
12

## 一次元磁性体の原子置換効果



13

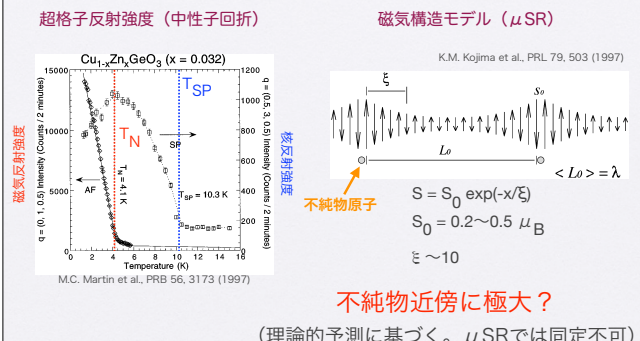
## 原子置換効果（実験）



- ・スピン・ペイエルス (SP) 序列の抑制、消失
- ・反強磁性 (AF) 長距離秩序の発生  $\leftarrow$  SP序列と共に存
- ・置換方法、置換元素による磁気相図

14

## AF秩序とSP秩序の共存状態 空間的に不均一な長距離磁気秩序

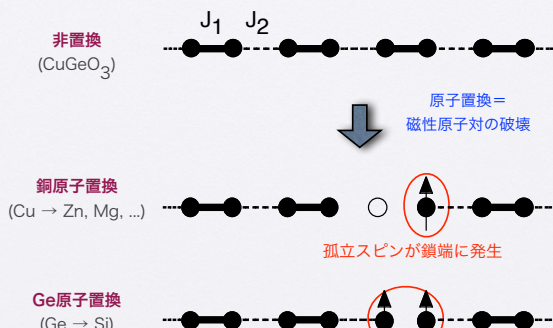


15

## 原子置換による磁性原子対の破壊



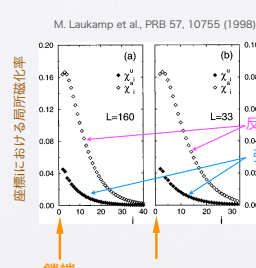
## 原子置換による磁性原子対の破壊



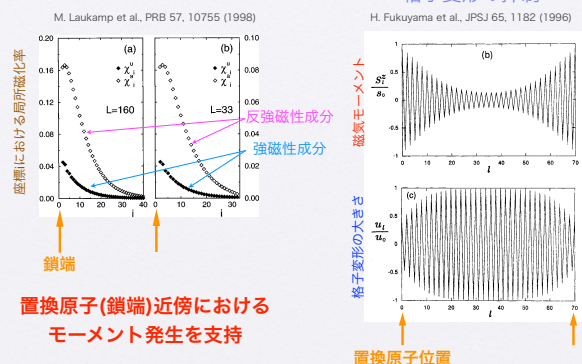
17

## 理論計算、数値シミュレーション

### 1) 有限長の交替ボンド鎖



### 2) 置換原子近傍における格子変形の抑制



置換原子（鎖端）近傍におけるモーメント発生を支持

18

## 研究の動機

### 磁気モーメント形成の微視的機構

磁性原子対の破壊による鎖端磁気モーメントの発生？

**直接の実験的証拠なし**

(位置情報は皆無)

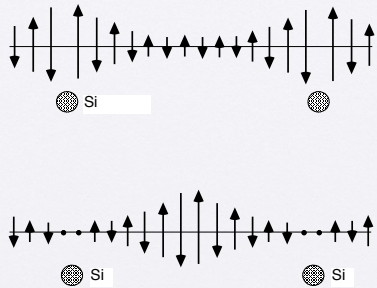


### NMR・NQRによる直接的検証



19

X



20

### 核四重極共鳴

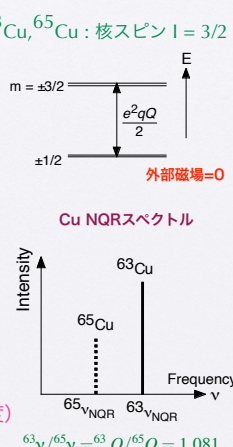
NQR ← 電気四重極相互作用 ( $I \geq 1$ )

$$\mathcal{H}_Q = \frac{e^2 q Q}{4I(2I-1)} [3J_Z^2 - I(I+1)]$$

$eQ$  : 核四重極モーメント

$$eq : \text{原子核位置における電場勾配 } eq = \frac{\partial^2 V}{\partial z^2}$$

$V(r)$  : 結晶電位



NQR周波数：周囲の電荷分布を反映

(局所的構造・環境)

共鳴線の数 = 環境の異なるサイトの数

共鳴吸収強度  $\propto$  原子核の数 (サイトの多重度)

$$^{63}\nu / ^{65}\nu = ^{63}Q / ^{65}Q = 1.081$$

21

### 核四重極共鳴 (NQR)

核スピン  $I=1/2$  以外の原子核の電荷分布は非球状

↓  
周囲の電荷配置と核の向きに依存してエネルギーの高低が変化

↓  
エネルギー準位の分裂、共鳴吸収



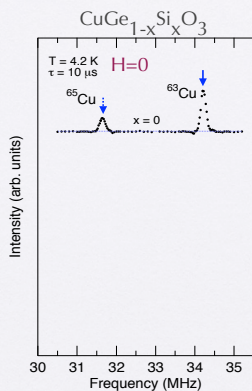
不安定



不安定

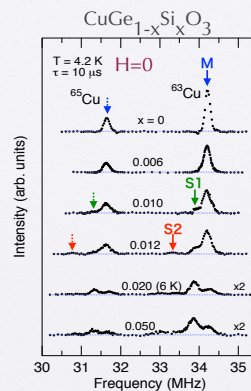
22

### Cu NQR スペクトル



23

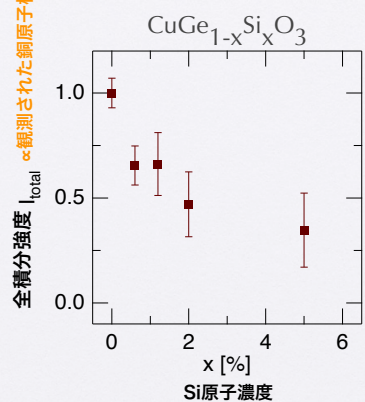
### Cu NQR スペクトル



- サテライト線 S1, S2 の出現  
環境の異なる銅原子の存在  
= Si近傍の銅原子？
- 主共鳴線 M の急激な強度減少
- 線幅の広がり小  
構造の乱れは比較的小さい

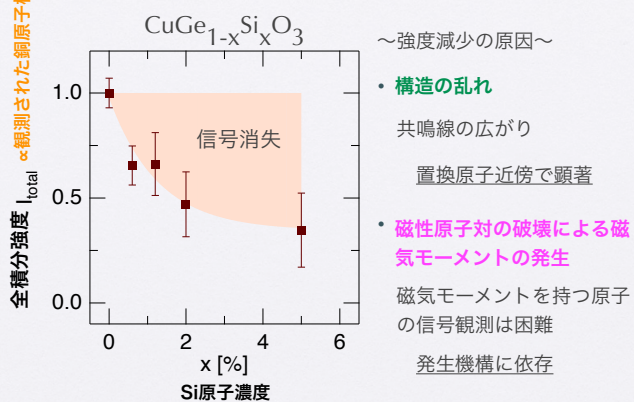
24

## 全積分強度の組成依存性



25

## 全積分強度の組成依存性



26

## 積分強度の解析

Cu NQR 周波数：隣接Si原子数により定まる

隣接Ge原子n個中、k個がSi原子により置換される確率

$$= {}_n C_k (1-x)^{n-k} x^k$$

M : 隣接Si原子なし (k=0)

S1 : n個中1個の隣接Si原子 (k=1)

S2 : n個中2個の隣接Si原子 (k=2)

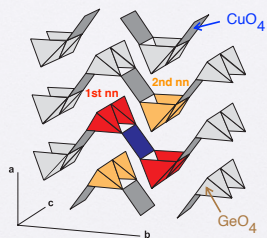
Cu-Ge原子間距離

第一隣接 3.29 Å × 4 (n=4)

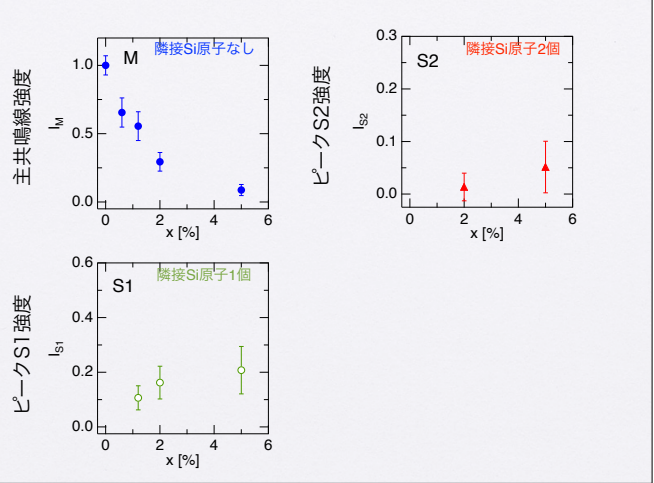
第二隣接 3.75 Å × 4 (n=8)

第三隣接 5.30 Å × 4 (n=12)

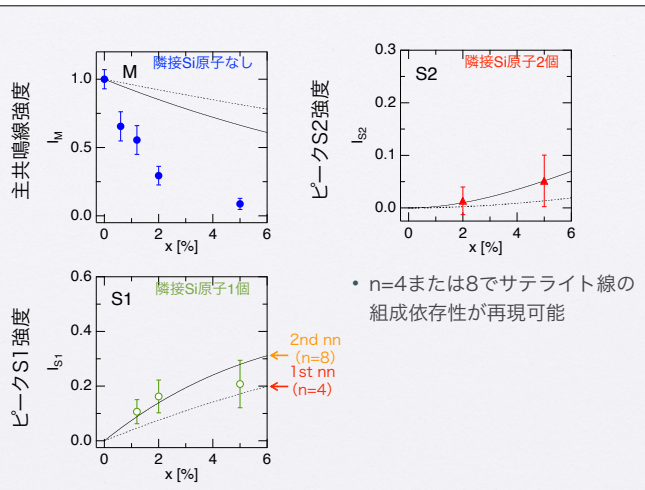
第十隣接 7.96 Å × 4 (n=40)



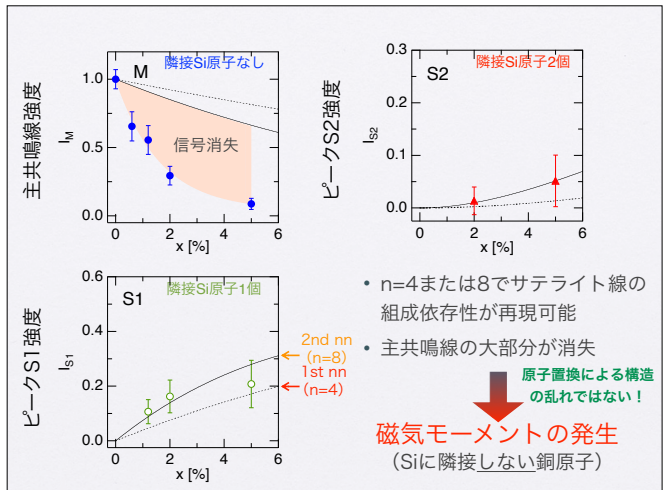
27



28



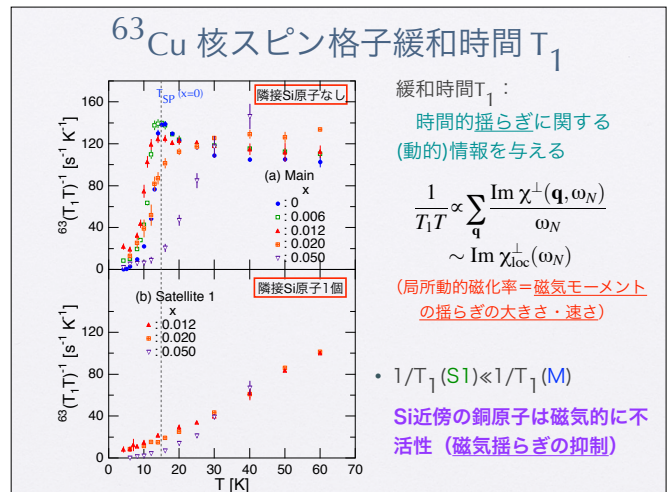
29



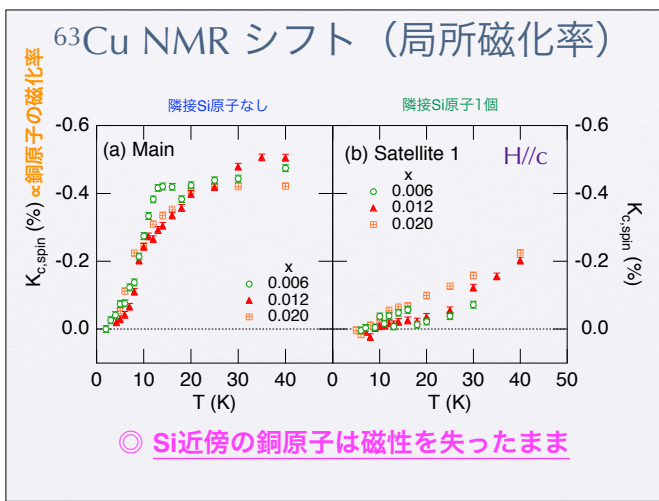
30



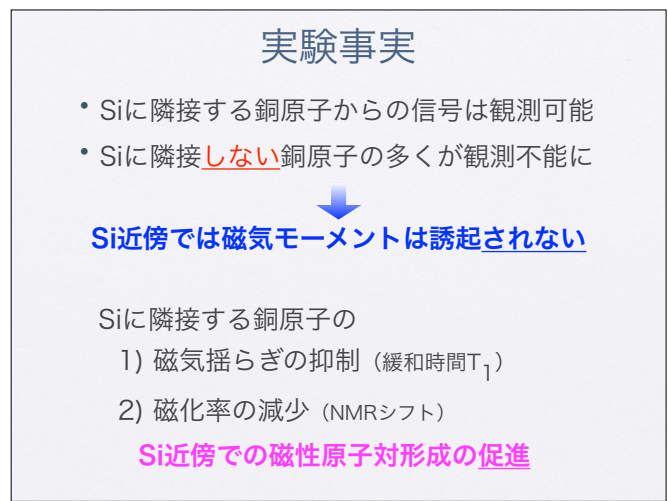
31



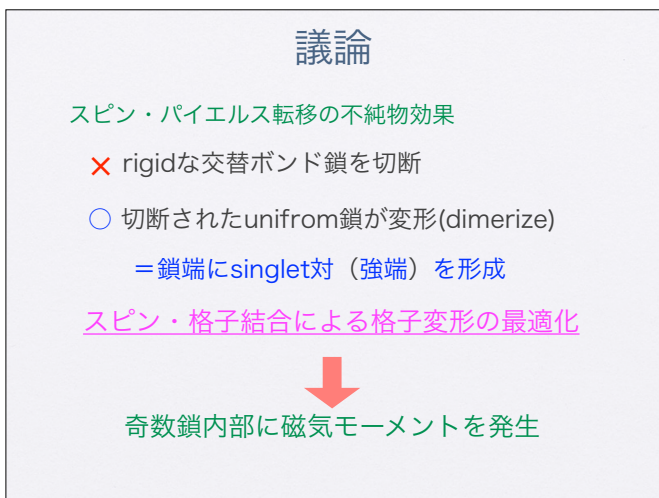
32



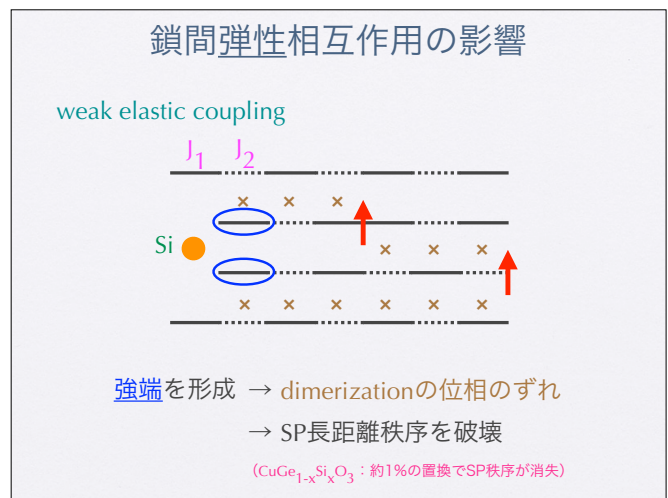
33



34



35



36

## 鎖間弾性相互作用の影響

strong elastic coupling



✗ 強い鎖間相互作用 → 鎖端モーメントの形成

37

## 結論

$\text{CuGeO}_3$  のスピン・パイエルス転移に対する  
原子置換効果（不純物誘起磁性）

置換原子近傍には磁気モーメントは誘起されない  
スピン・格子結合による格子変形の最適化

- 鎖端に磁性原子対を形成
- 奇数鎖内部に磁気モーメントが発生  
(スピンソリトン)



38

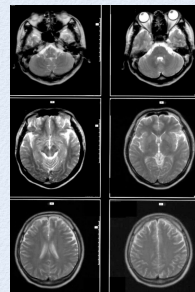
## IV. 核磁気共鳴による固体物理学研究

1. 核磁気共鳴の原理
2. 核磁気共鳴装置
3. 固体物理学研究への利用
4. 医療への応用：MRIの原理

39

## 画像診断(MRI)への応用

磁気共鳴画像診断  
(MRI)



- 人体中の水素 ( $^1\text{H}$ ) 原子核のNMRによるエネルギー吸収を利用  
NMR Imaging → “MRI”
- 部位や病変により吸収強度が変化 → 画像の濃淡として表す  
濃い部分は水分が多く、吸収が弱い

基礎原理：

P. C. Lauterbur, P. Mansfield  
2003年ノーベル医学生理学賞

40

## MRI装置の例



- 円筒の中心部に磁場を発生、検体（人間）を入れる。
- 円筒外周部に液体ヘリウムを保持する。（超伝導を利用）定期的に補充が必要。

41

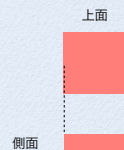
## 画像化の原理(1)

傾斜磁場を利用して、共鳴周波数を位置情報に変換

試料A (円筒状)



試料B (角状)

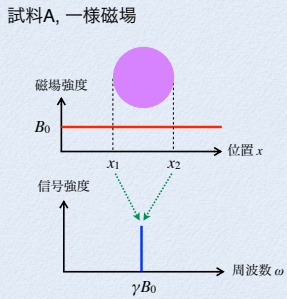


直径と一边の長さは同じとする

42

## 画像化の原理(2)

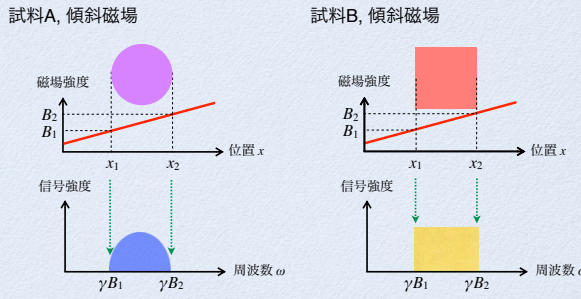
一様磁場では、スペクトルに形状による差異は現れない



43

## 画像化の原理(3)

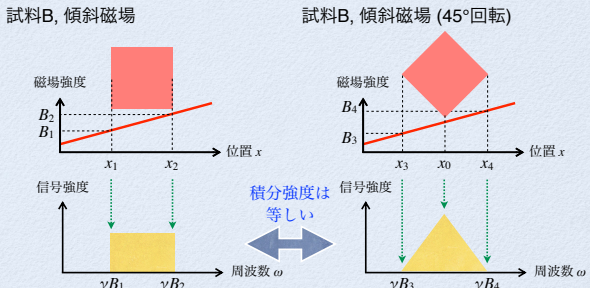
傾斜磁場では、位置情報が周波数に変換され、  
形状による差異がスペクトルに現れる



44

## 画像化の原理(4)

歪な物体では、傾斜磁場に対する向きが  
スペクトルの差異として現れる



45

## 画像化の原理(5)

傾斜磁場の方向を変えると、複数個置かれた試料  
の配置を反映したスペクトルが得られる。



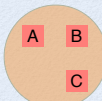
傾斜磁場方向の回転=試料の回転

46

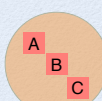
## 画像化の原理(5)

傾斜磁場の方向を変えると、複数個置かれた試料  
の配置を反映したスペクトルが得られる。

パターンA

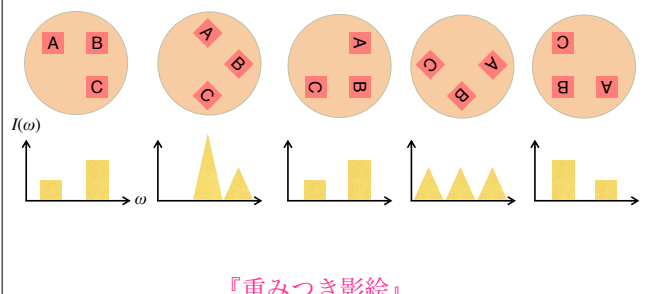


パターンB



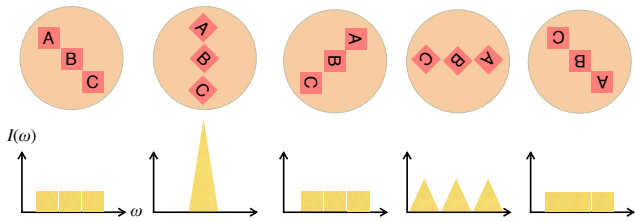
47

パターンA：傾斜磁場方向を45°おきに回転



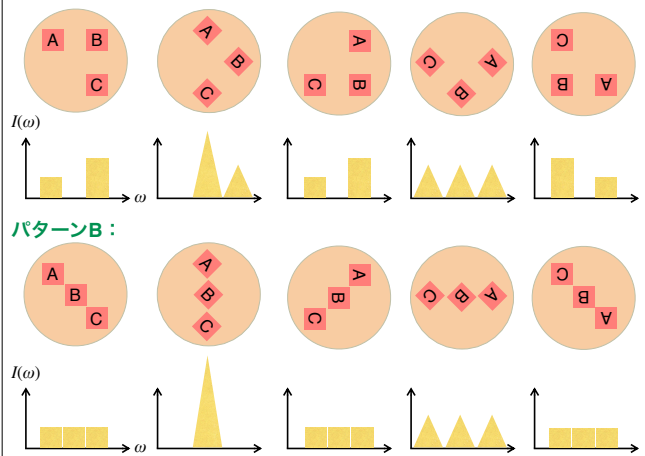
48

パターンB：傾斜磁場方向を45°おきに回転



49

パターンA：



50

## 核磁気共鳴による固体物理学研究

- 他の実験手段とは一線を画した情報

### 1. 原子ごとに測定

分解能=原子サイズ( $10^{-10}$  m)

### 2. 電子の運動に関するミクロな情報

電子の運動の範囲、運動の方向、結合状態等

←原子・電子間に働く力の起源

物質の「個性」と原子配列・電子の運動状態との関係を知ることのできる強力な実験手段

51